



# Nosná konstrukce zastřešení tělocvičny

Diplomová práce

Autor diplomové práce:

Bc. Lucia Petrovičová

Vedoucí diplomové práce:

Ing. Josef Musílek, PhD.

Oponent diplomové práce:

Ing. Jan Čížek

# Cíl práce

- Cílem této diplomové práce je návrh a statické posouzení nosné konstrukce zastřešení tělocvičny v Chomutově.

# Motivace

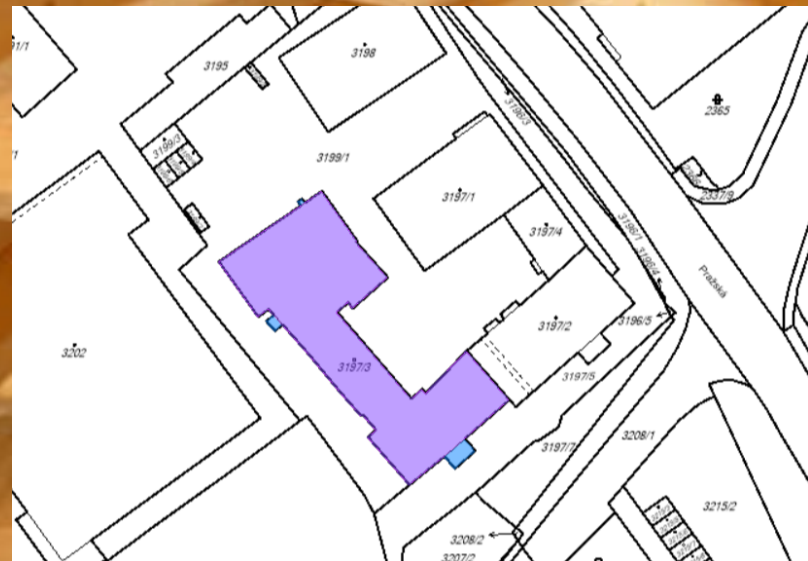
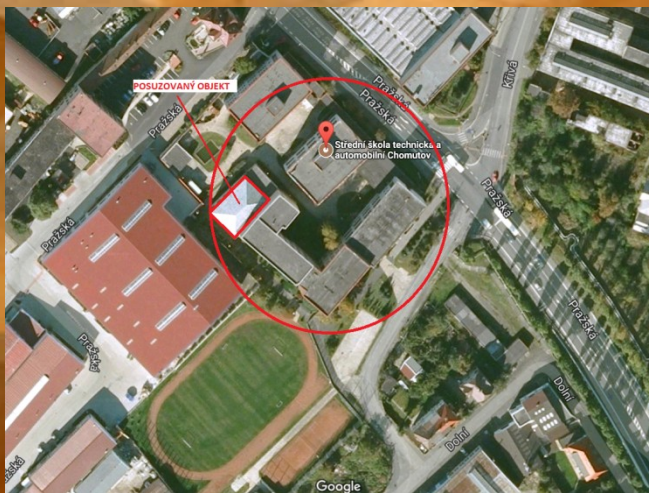
- Prohloubení znalostí v oboru navrhování konstrukcí z dřeva

# Použité zdroje

- ČSN EN 73 1993-1-8. Navrhování styčnicků: Část 2: Zásady navrhování. Praha: Český normalizační institut, 2005.
- ČSN EN 73 1991-1-1. Zatížení konstrukcí: Část 4: Objemové tíhy stavebních a skladovaných materiálů. Praha: Český normalizační institut, 2005.
- **ČSN EN 73 1991-1-3. Zatížení sněhem: Část 5: Určení zatížení sněhem. Praha: Český normalizační institut, 2005.**
- **ČSN EN 73 1991-1-4. Zatížení větrem: Část 7: Součinitelé tlaků a sil. Praha: Český normalizační institut, 2005.**
- DOLEJŠ, J. a J. MACHÁČEK, 2008. Ocelové konstrukce. Praha: ČVUT v Praze. ISBN 978-80-01-04128-4
- **STRAKA, B. a J. PELACHOVÁ, 1996. *Dřevěné konstrukce podle Eurokódu 5, STEP 1*, Brno: CERM. ISBN 80-7204-017-0**
- KUKLÍK, P., M. MIKEŠ a A. KUKLÍKOVÁ, 2005. *Dřevěné konstrukce. Cvičení*, Praha: ČVUT v Praze. ISBN 80-01-02871-2
- SOKOL, Z. a F. WALD, 2009. Ocelové konstrukce 2. ČVUT v Praze. ISBN 978-80-01-03473-9
- **KUKLÍK, P. a A. KUKLÍKOVÁ, 2008. *Dřevěné konstrukce*, Praha: ČVUT v Praze. ISBN 978-80-01-04132-1**
- **SOKOL, Z. a F. WALD, 2010. Ocelové konstrukce. Tabulky. Praha: ČVUT v Praze. ISBN 978-80-01-04655-5**

# Informace o konstrukci

- Místo stavby: k.ú.Chomutov, parcela 3197/3, město Chomutov
- Typ objektu: stávající objekt tělocvičny
- Výpočetní software: SCIA Engineer 2017 (obecná rovina XYZ)
- Posuzovaná část: střešní konstrukce

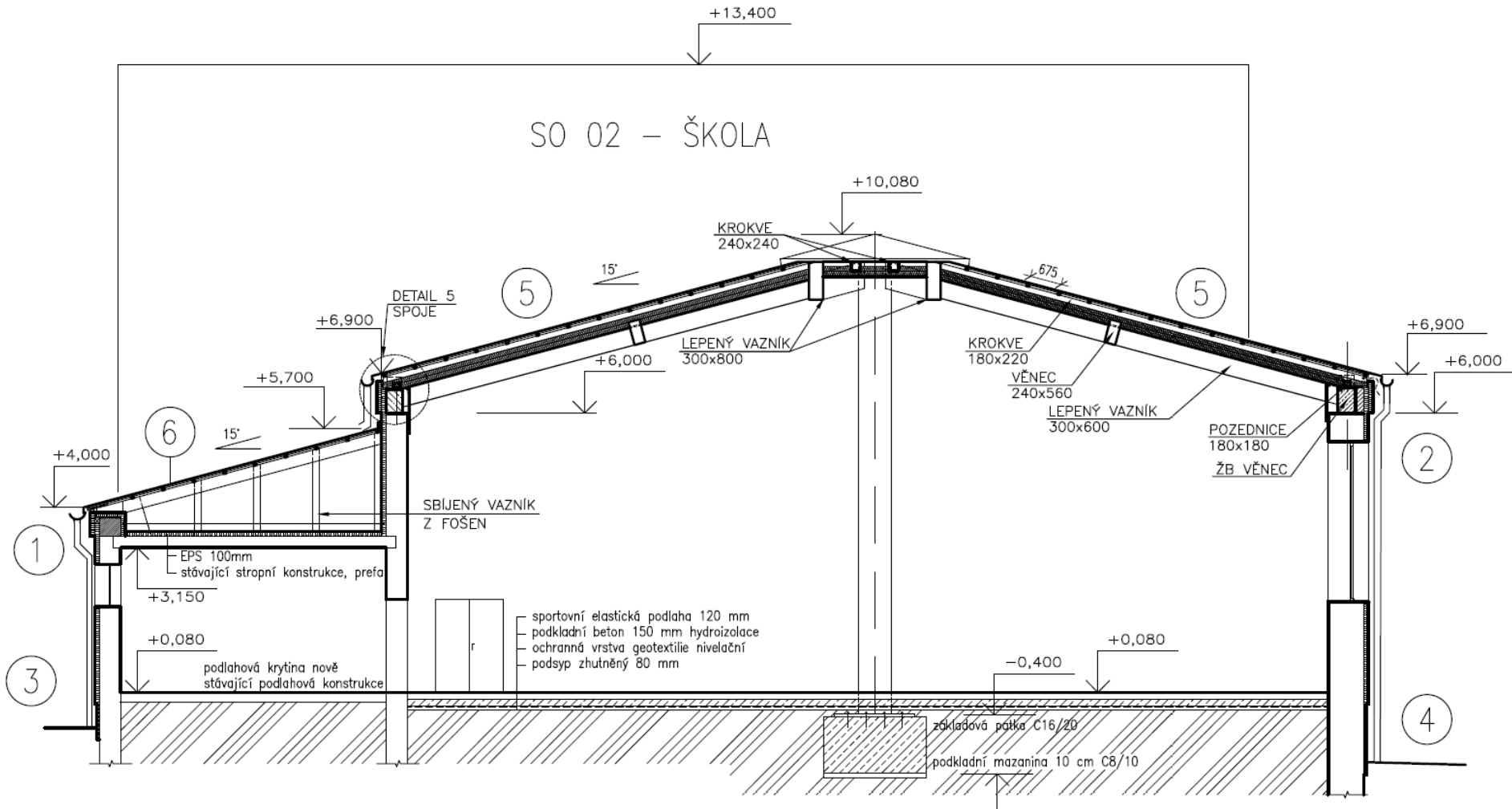


# Materiály





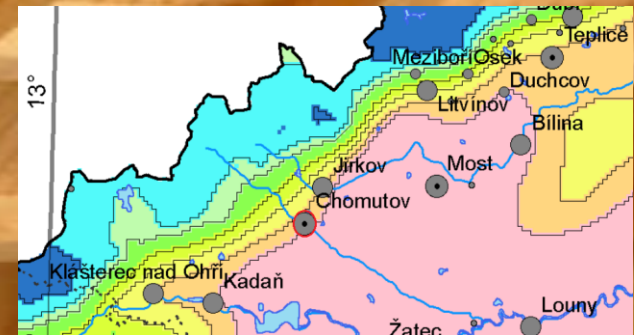
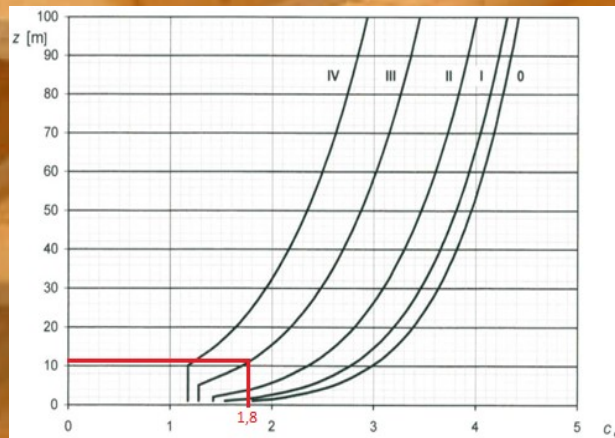
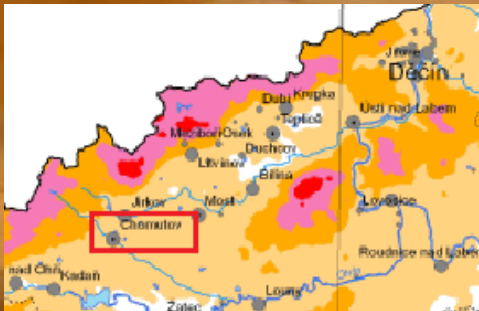
# Řez





# Zatížení

- Vítr (ČSN EN 1991-1-4) → K.T.III, V.O. II,  $h < 11$  m, typ střechy valbová
- Sníh (ČSN EN 1991-1-3) → S.O. II,  $s_k = 1,0$  kPa, sklon střechy  $12-15^\circ < 30^\circ$  →  $\mu_1 = 0,8$
- Stálé zatížení →  $\Sigma 0,822$  kN/m<sup>2</sup>
- Vlastní tíha → software



# Zatěžovací stavy a kombinace

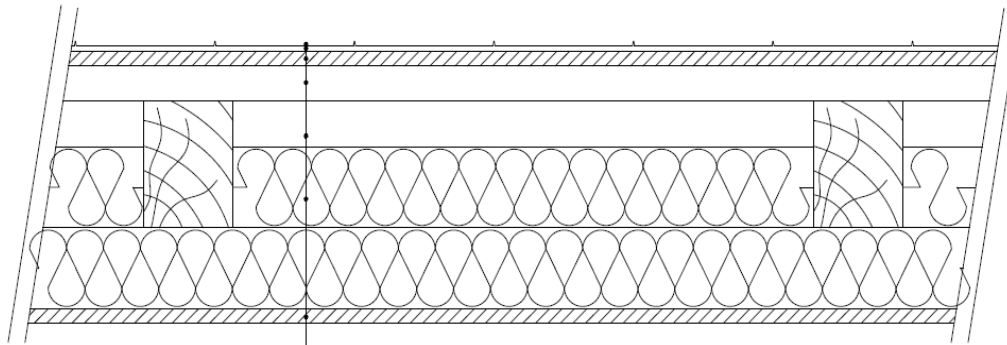
## Zatěžovací stavy:

- ZS1-vl.tíha
- ZS2-ostatní stále zatížení
- ZS3-vítr  $\theta=0^\circ$
- ZS4-vítr  $\theta=90^\circ$ -zleva
- ZS5-vítr  $\theta=90^\circ$ -zprava
- ZS6-sníh

## Kombinace:

- Byli vytvořeny programem SCIA.
- Kombinace MSÚ  $\rightarrow$  třída výsledků RC1
- Kombinace MSP  $\rightarrow$  třída výsledků RC2

# Návrh nové střešní konstrukce



- STŘEŠNÍ KRYTINA LINDAB SEAMLINE ELITE TL0,6 mm
- STRUKTUROVANÁ SEPARAČNÍ VRSTVA 8 mm (VEJŠKA NOPŮ)
- KONTRALATĚ 40x60 mm
- OSB BEDNĚNÍ 25 mm
- IZOLACE ISOVER ORSET 280 mm
- PAROZÁBRANA JUTAFOL N140
- PODHLED OSB DESKY 25 mm

SKLADBA	TLOUŠŤKA [m]	OBJEMOVÁ TÍHA [kN/m <sup>3</sup> ]	G <sub>k</sub> [kN/m <sup>2</sup> ]	γ <sub>G,sup</sub> [-]	G <sub>d</sub> [kN/m <sup>2</sup> ]
PODHLED OSB DESKY <sup>(1)</sup>	0,025	6,1	0,1525	1,35	0,2059
PAROZÁBRANA JUTATOP <sup>(2)</sup>	-	-	0,0027	1,35	0,0036
IZOLACE ISOVER ORSET <sup>(3)</sup>	0,28	0,3	0,084	1,35	0,1134
ODVĚTRÁNÍ	0,12	-	-	-	-
OSB BEDNĚNÍ <sup>(1)</sup>	0,025	6,1	0,1525	1,35	0,2059
KONTRALATĚ 40x60	0,06	3,5	0,21	1,35	0,2835
STRUKTUROVANÁ SEPAR.VRSTVA <sup>(4)</sup>	-	-	0,0038	1,35	0,0051
STŘEŠNÍ KRYTINA LINDAB SEAMLINE ELITE <sup>(5)</sup>	0,006	-	0,0035	1,35	0,0047
<b>ZATÍŽENÍ CELKEM</b>	-	-	<b>0,609</b>	-	<b>0,8222</b>

→ II. Požadavek na součinitel prostupu tepla (čl. 5.2 v ČSN 730540-2) →

→ Požadavek:  $U, N \leq 0,24 \text{ W/m}^2\text{K}$

→ Vypočtená hodnota:  $U = 0,232 \text{ W/m}^2\text{K}$

→  $U < U, N$ ... POŽADAVEK JE SPLNĚN.

→ Vypočtený součinitel prostupu tepla musí zahrnovat vliv systematických tepelných

→ mostů (např. krokvi v zateplené šikmé střeše).

→ III. Požadavky na šíření vlhkosti konstrukcí (čl. 6.1 a 6.2 v ČSN 730540-2) →

→ Požadavky: → 1. Kondenzace vodní páry nesmí ohrozit funkci konstrukce.

→ 2. Roční množství kondenzátu musí být nízké a nez. roční kapacita odparu.

→ 3. Roční množství kondenzátu  $M_{c,a}$  musí být nižší než  $0,1 \text{ kg/m}^2 \cdot \text{rok}$ .

→ nebo 3-6% plošné hmotnosti materiálu (nižší z hodnot).

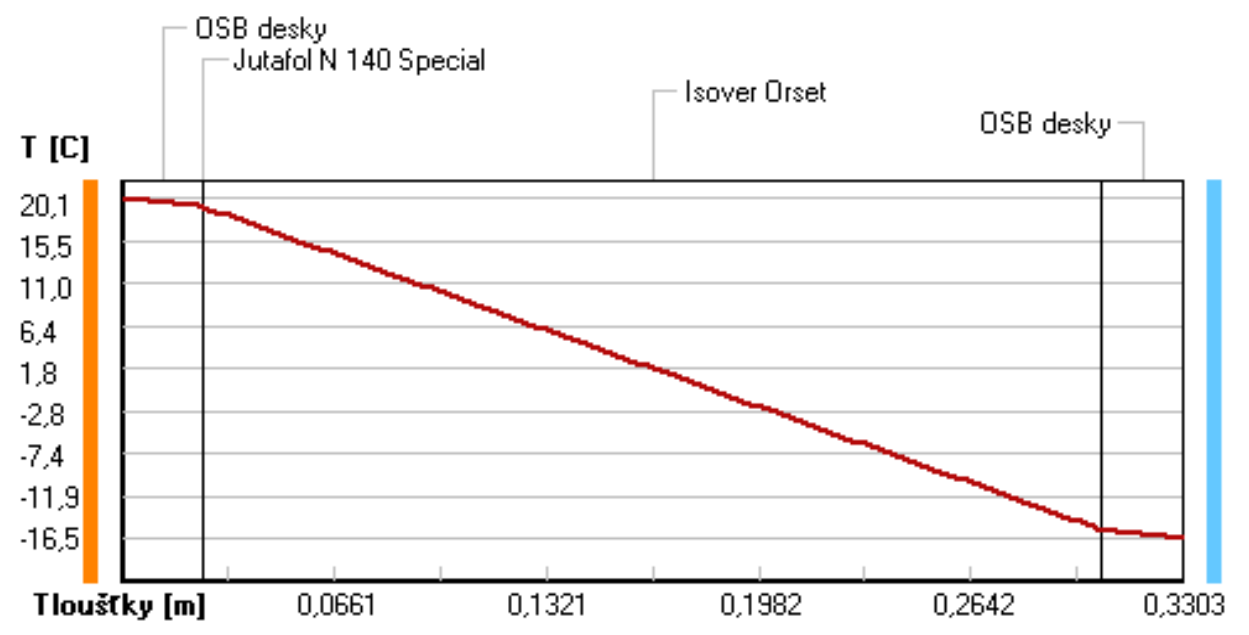
→ Vypočtené hodnoty: → V  $\leq 0,01$  nedochází při venkovní návrhové teplotě ke kondenzaci.

→ POZADAVKY JSOU SPLNĚNY.

Teploty 2017 EDU, (c) 2016 Svoboda Software



Teploty v typickém místě konstrukce v ustálených návrhových podmínkách



# Ukázka průběhů vnitřních sil na prvcích konstrukce

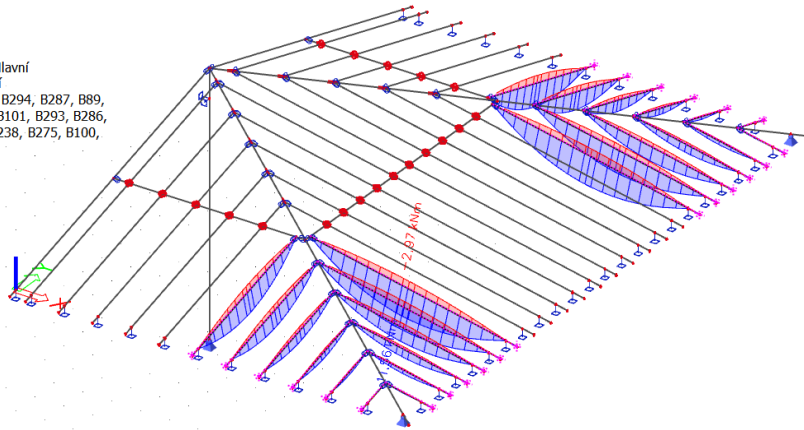
## 1D vnitřní síly

Hodnoty:  $M_y$   
Lineární výpočet

Třída: RC1

Souřadný systém: Hlavní  
Extrém ID: Globální

Výběr: B240, B102, B294, B287, B89,  
B239, B256, B276, B101, B293, B286,  
B262, B88, B218, B238, B275, B100,



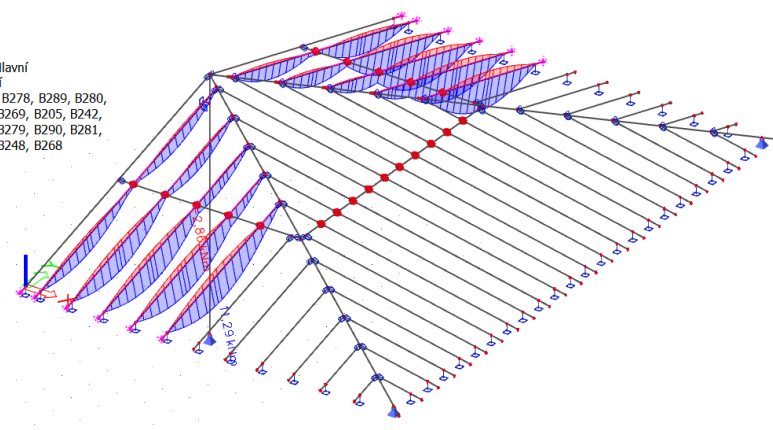
## 1D vnitřní síly

Hodnoty:  $M_y$   
Lineární výpočet

Třída: RC1

Souřadný systém: Hlavní  
Extrém ID: Globální

Výběr: B250, B270, B278, B289, B280,  
B291, B193, B267, B269, B205, B242,  
B277, B288, B244, B279, B290, B281,  
B246, B266, B292, B248, B268



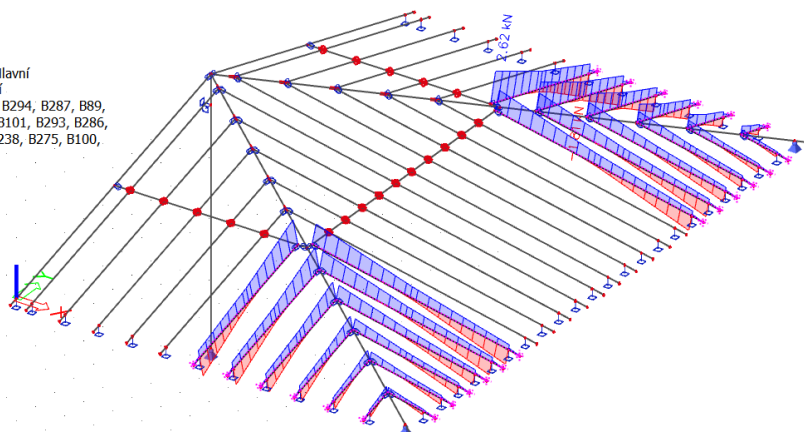
## 1D vnitřní síly

Hodnoty:  $N$   
Lineární výpočet

Třída: RC1

Souřadný systém: Hlavní  
Extrém ID: Globální

Výběr: B240, B102, B294, B287, B89,  
B239, B256, B276, B101, B293, B286,  
B262, B88, B218, B238, B275, B100,



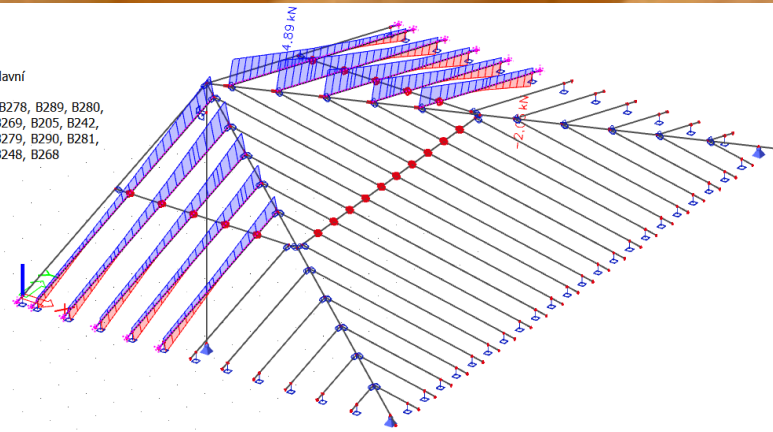
## 1D vnitřní síly

Hodnoty:  $N$   
Lineární výpočet

Třída: RC1

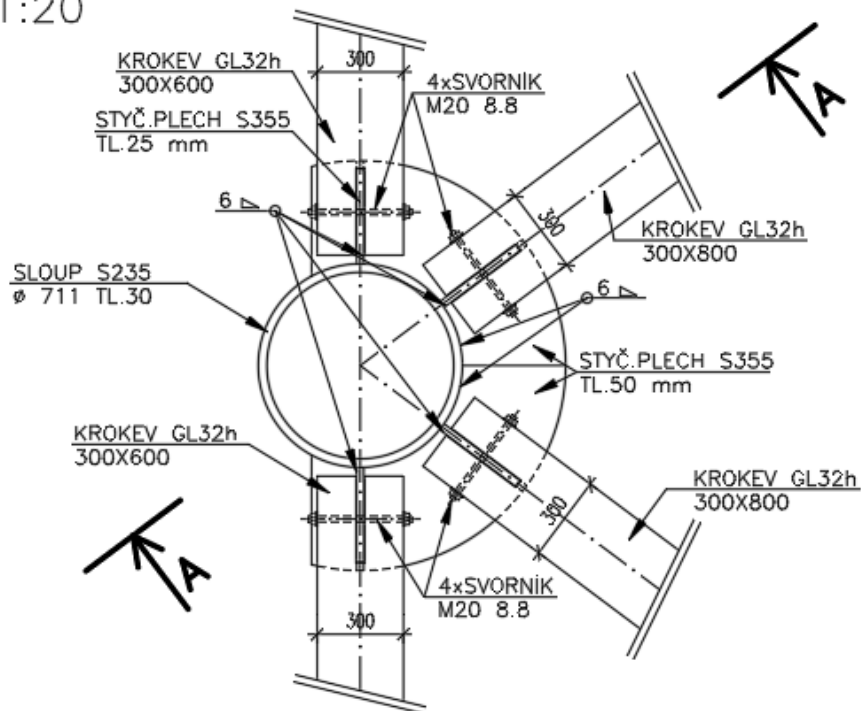
Souřadný systém: Hlavní  
Extrém ID: Globální

Výběr: B250, B270, B278, B289, B280,  
B291, B193, B267, B269, B205, B242,  
B277, B288, B244, B279, B290, B281,  
B246, B266, B292, B248, B268

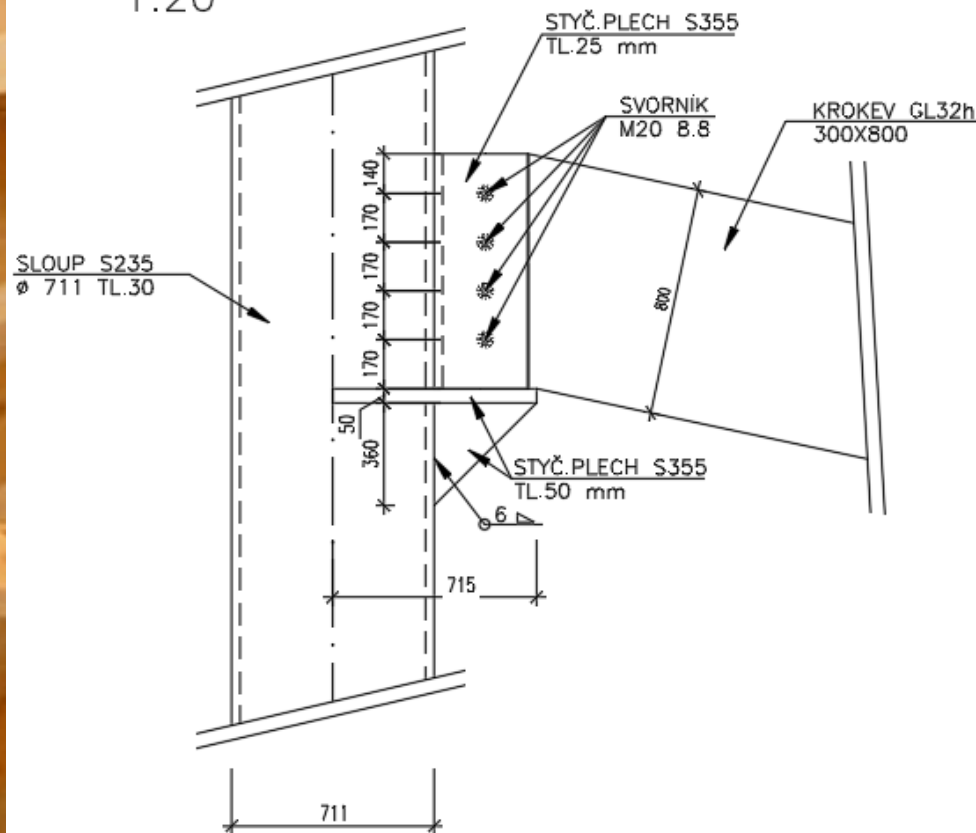


# Ukázka návrhu řešení detailů

DETAIL 1  
PŮDORYS  
1:20



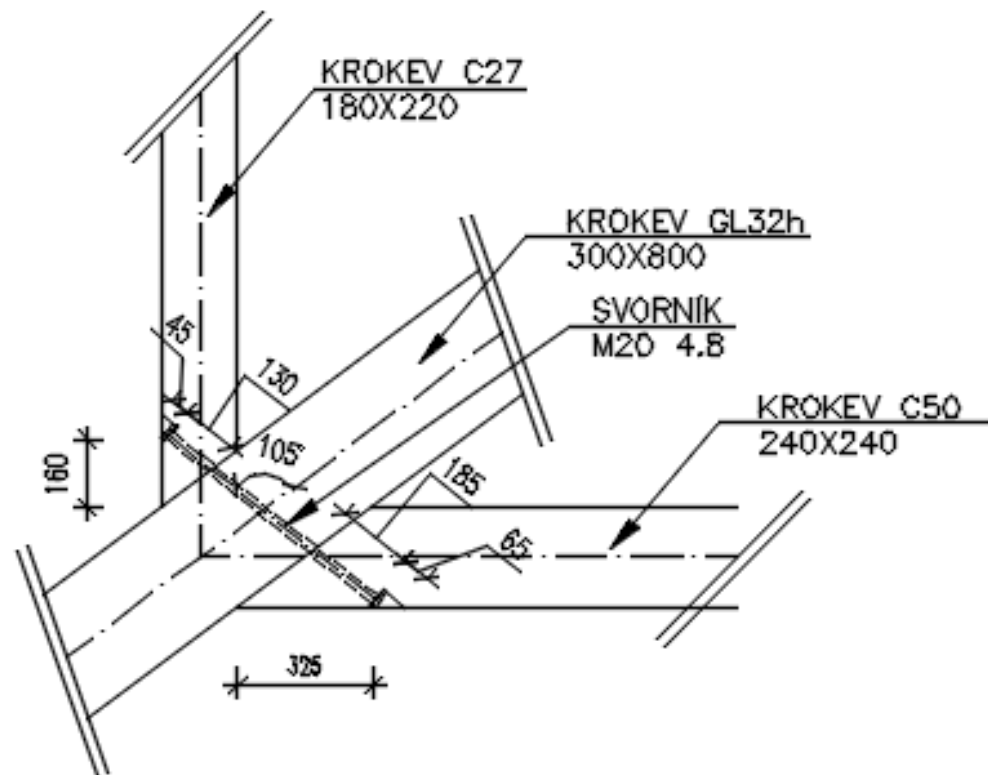
ŘEZ A-A  
1:20



# DETAIL 3

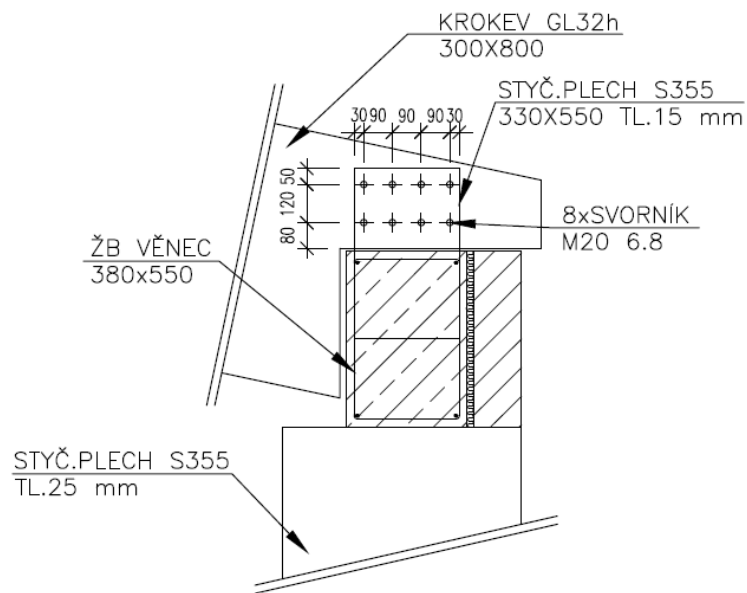
STYK NÁROŽNÍ KROKVE S KROKVEMI  
PŮDORYS

1:20



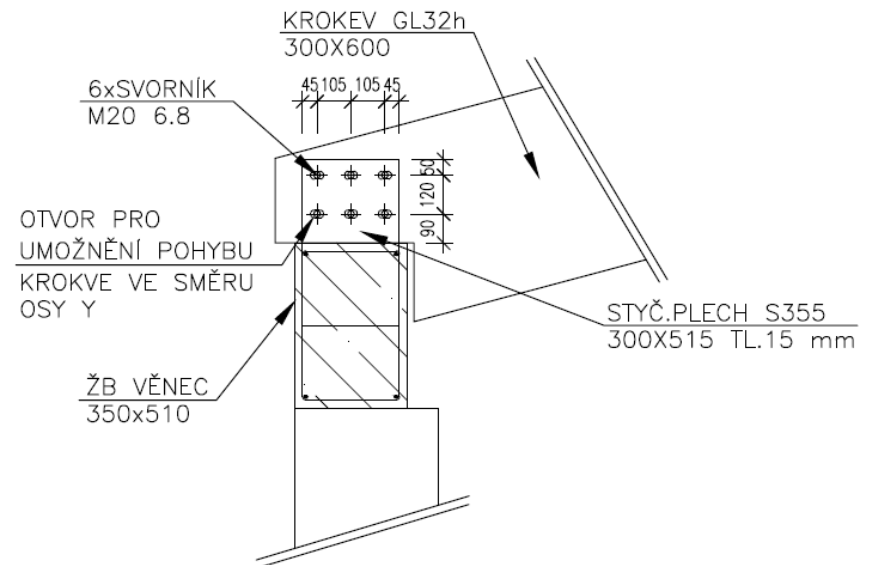
# DETAIL 4

ULOŽENÍ NÁROŽNÍ KROKVE NA ZDIVO  
1:20



# DETAIL 5

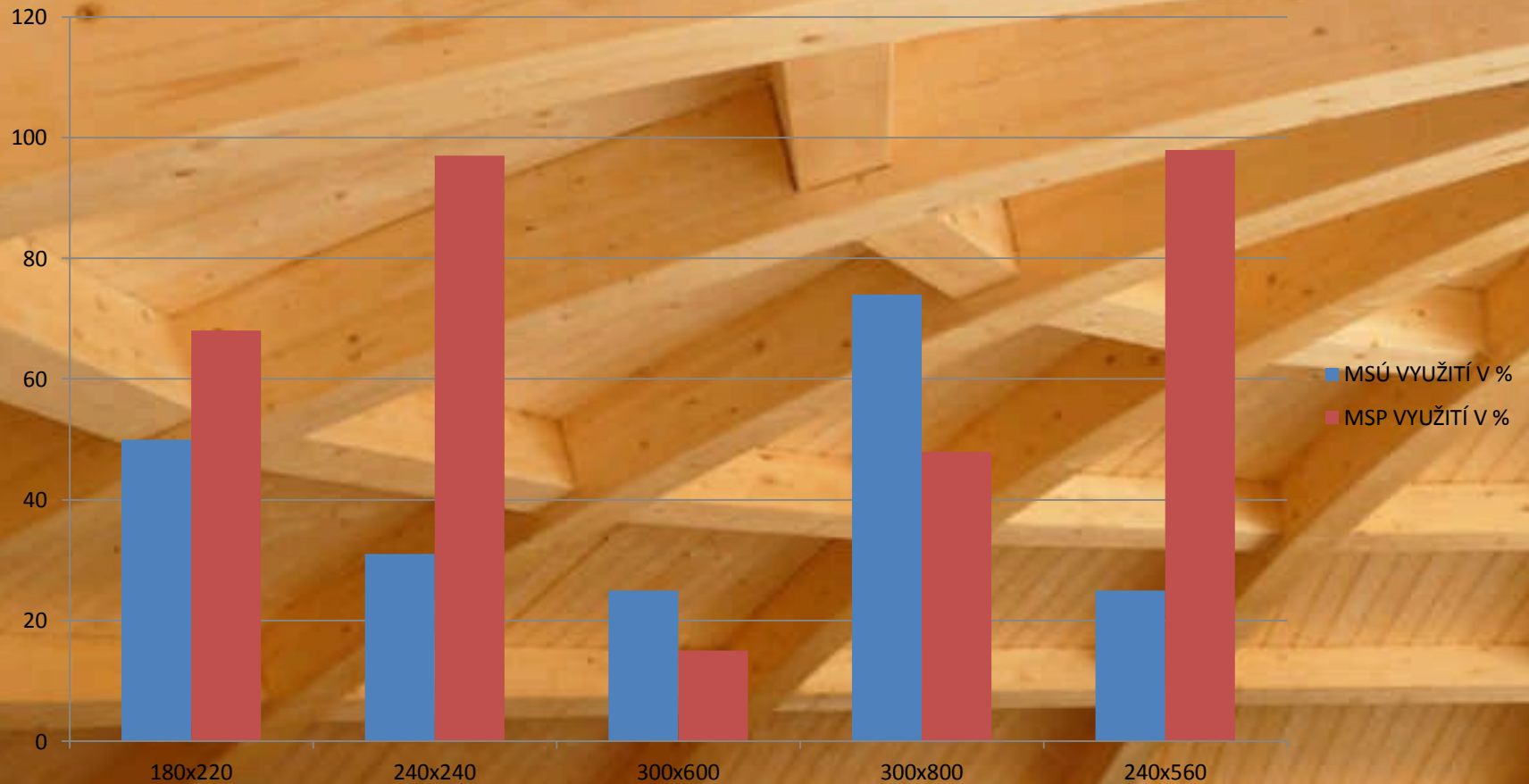
ULOŽENÍ KROKVE PŘI STĚNĚ NA ZDIVO  
1:20





# VYUŽITELNOST

## VYUŽITELNOST DŘEVĚNÝCH PRVKŮ



# Přehled výsledků v tabulce

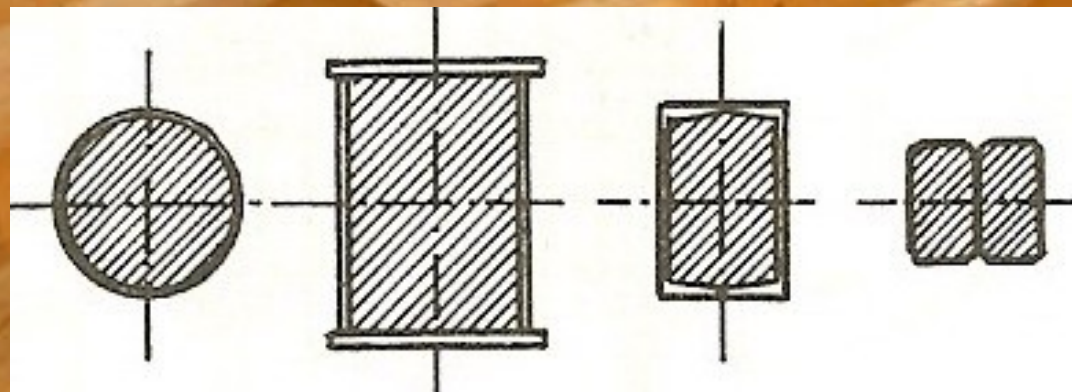
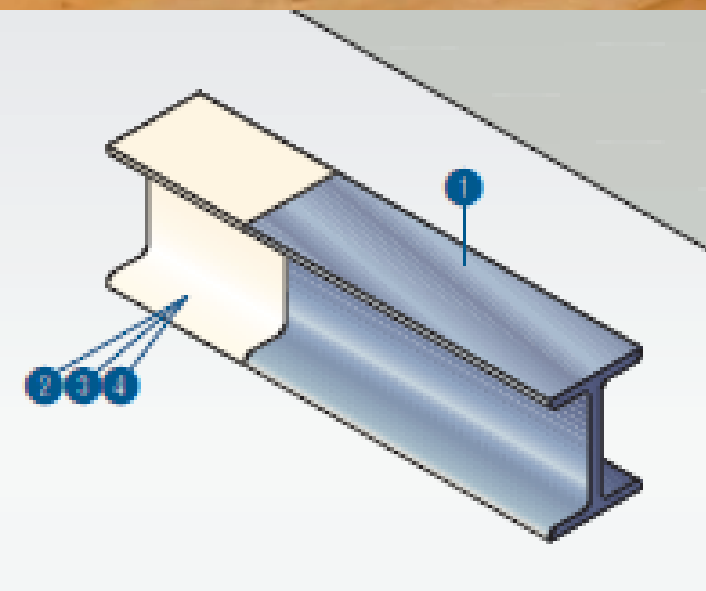
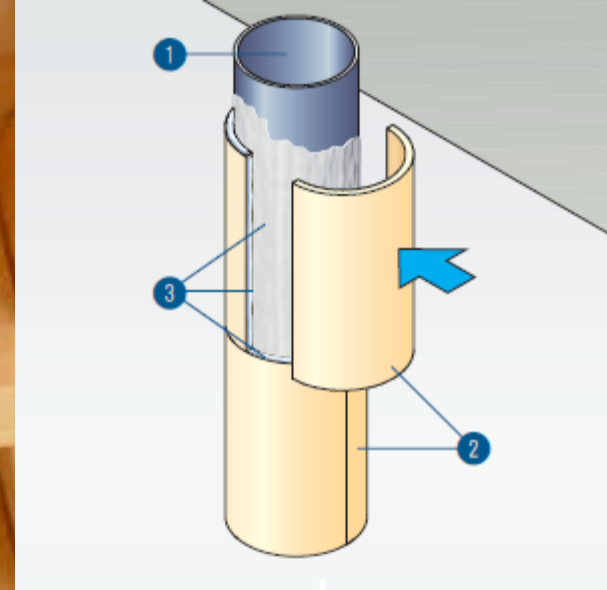
NÁZEV PRVKU	PRŮŘEZ	MATERIÁL	TŘÍDA MAT.	DÉLKA PRVKU	N-TLAK	M <sub>y</sub>
KROKEV O 1 POLI	180x220	ROSTLÉDŘEVO	C27	7,34 m	1,36 kN	11,56 kNm
KROKEV O 2 POLÍCH PRO 15°	180x220	ROSTLÉDŘEVO	C27	6,74 m	2,05 kN	11,29 kNm
KROKEV O 2 POLÍCH PRO 12°	240x240	ROSTLÉDŘEVO	C50	11,221 m	1,85 kN	20,24 kNm
NÁROŽNÍ KROKEV	300x800	LEPENÉ LAMELOVÉ DŘEVO	GL 32h	17,541 m	72,62 kN	443,26 kNm
KROKEV PŘI STĚĚ	300x600	LEPENÉ LAMELOVÉ DŘEVO	GL 32h	10,762 m	5,69 kN	91,76 kNm
VĚNEC ČÁST 12°	240x560	LEPENÉ LAMELOVÉ DŘEVO	GL 32h	10,032 m	-	93,06 kNm
VĚNEC ČÁST 15°	240x560	LEPENÉ LAMELOVÉ DŘEVO	GL 32h	6,67 m		
SLOUP	324x10	KONSTRUKČNÍ OCEL	S235	9 m	1,36 kN	-



**Děkuji za pozornost**

# Otázky od oponenta DP

- Která místa z celé Vámi navržené konstrukce budou nejslabší z hlediska účinků požáru a jak lze jejich požární odolnost zvětšit?
- Který součinitel zahrnuje "možnost vzniku trhlin" při smyku a jaký parametr nosníku jím redukuje?
- Vysvětlete pojmy používané v dřevěných konstrukcích - "Balloon-Frame", "Platform-Frame".



# Součinitel zahrnující možnost vzniku trhlin+jaký parametr nosníku redukuje

$$b_{ef}=k_{cr}.b$$

$b_{ef}$ =účinná šířka průřezu

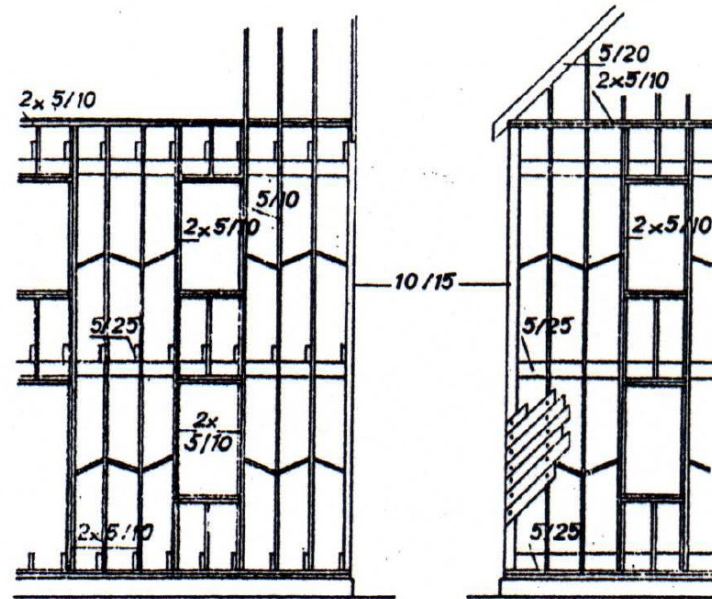
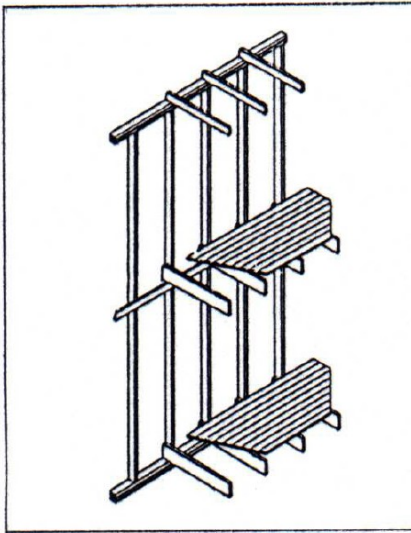
$k_{cr}$ =součinitel trhlin pro únosnost ve smyku

$k_{cr}=0,67$  (rostlé a lepené lamelové dřevo)

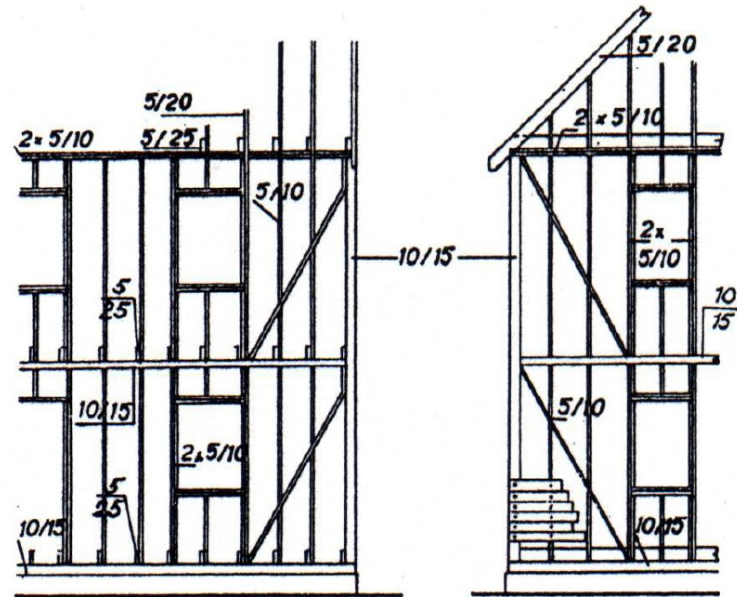
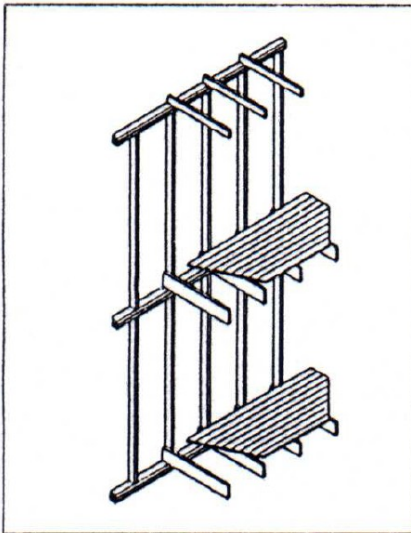
$k_{cr}=1,0$  (další výrobky na bázi dřeva)

$b$ =šířka příslušné části prvku

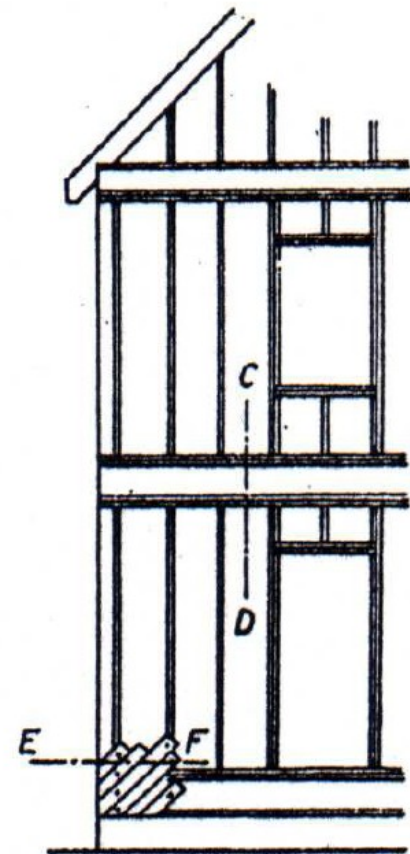
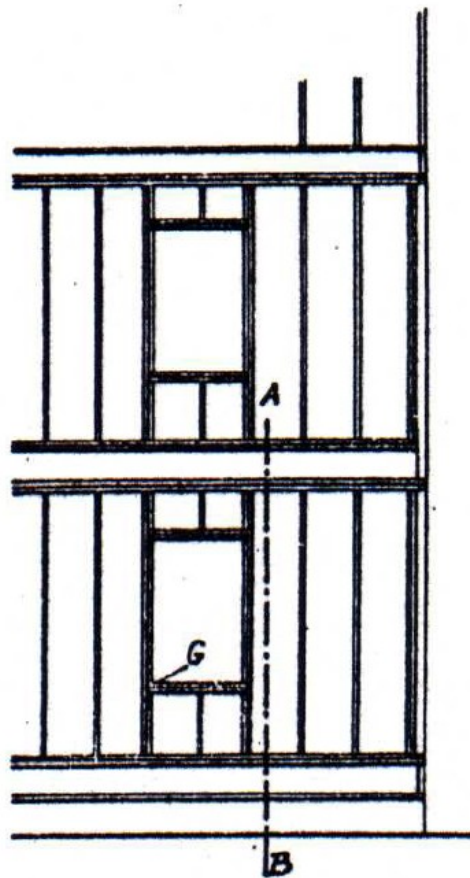
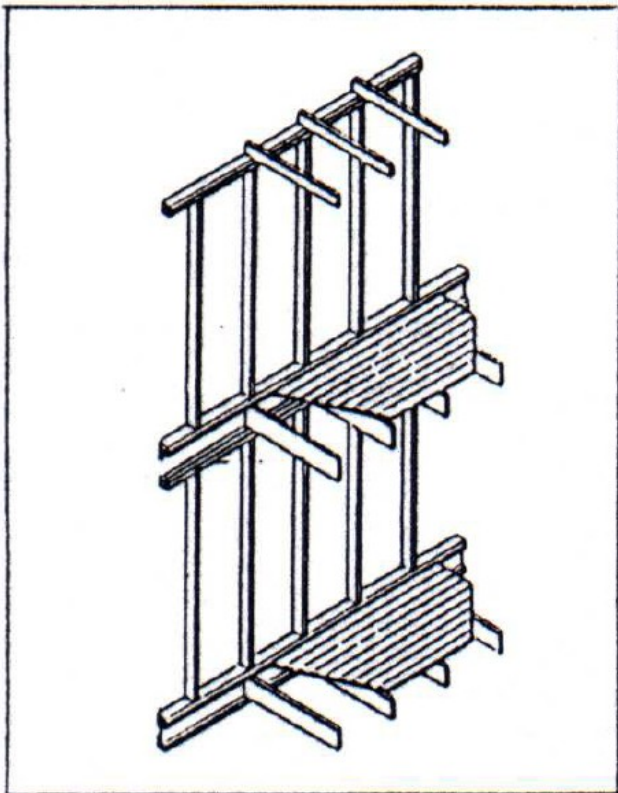
a)



b)



c)

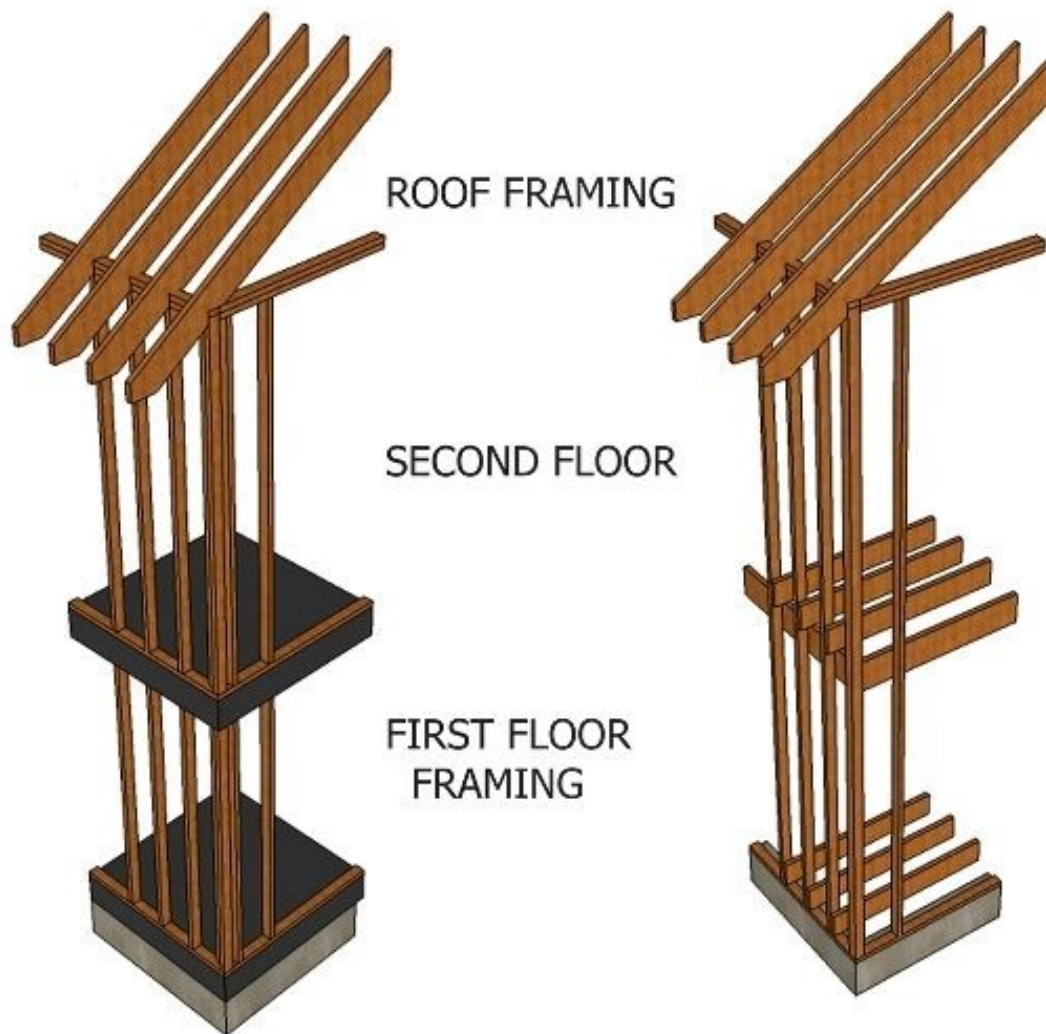




# FRAME TYPES

PLATFORM

BALLOON



# Otázky od vedoucího DP

- Jak bude provedena úprava konce nárožní krokve při uložení na sloup? - detail 1, řez A-A. Z detailu vypadá, že konec nárožní krokve je zahnutý, což není výrobně proveditelné. Pokud je styčnickový plech vodorovně, pak by na nárožní krokvi mělo být uděláno vodorovné osedlání (vodorovný zářez)

ŘEZ A-A  
1:20

